

Enmarcamentos e Paradoxos

Enmarcamento, no contexto da mecânica quântica de intérprete sefui, se referi às correlações quânticas que aparecem em sistemas de 2 ou mais partículas. Essas correlações podem persistir mesmo quando os partículas estiverem separadas por distâncias macroscópicas. Esse característica da mecânica quântica foi o que levou a vários questionamentos sobre a consistência e/ou completude.

O mais importante desses questionamentos é o paradoxo de Einstein-Polski-Rosen (EPR), de 1935, que foi posteriormente refinado pelo David Bohm em 1952. Vamos ver o argumento do EPR e como a versão de Bohm demonstra a existência de variáveis ocultas, ou que resultaria num formulário determinista da MQ. Na referência, vamos para o teorema de Bell, que mostra que, em geral, teorias com variáveis ocultas são incompatíveis com a MQ e que esta incompatibilidade tem consequências experimentais.

Paradoxo de EPR

Consideremos um experimento em que duas partículas se movimentam no eixo x com coordenadas x_1 e x_2 , e momentos p_1 e p_2 .

Vamos a assumir que, de alguma forma, els
partículas se encontram num certo estado dos
observáveis $x_1 - x_2$ e $p_1 + p_2$:

$$[x_1 - x_2; p_1 + p_2] = 0$$

Em particular consideremos os intervalos

$$\left\{ \begin{array}{l} x_0 \equiv x_2 - x_1 \\ 0 = p_1 + p_2 \end{array} \right.$$

Do ponto de vista de MQ, constuir esse
~~estado~~ não é um problema visto que

$$[x_1 - x_2; p_1 + p_2] = 0$$

Vamos considerar valores de x_0 macroscópi-
cos, i.e., muito grandes para que
as partículas possam ter alguma influência
uma sobre a outra.

A função de onda do sistema é do tipo

$$e^{ikx_1} - e^{-ikx_2}$$

integrandos nos possíveis valores de k , mas
com a condição que

$$x_2 - x_1 = x_0$$

Portanto, ele é dado por

$$\Psi(x_1, x_2) = \int_{-\infty}^{\infty} e^{ik(x_1 - x_2 + x_0)} dk$$

$$\Rightarrow \Psi(x_1, x_2) = (2\pi) \delta(x_1 - x_2 + x_0)$$

Claramente, essa função de onda não é normalizável, mas a discussão pode proceder do mesmo jeito mesmo considerando uma versão aproximada de $\Psi(x_1, x_2)$ que é normalizável.

Por exemplo, podemos imaginar que umas partículas em repouso leiai em duas fases com direções opostas e com momentos opostos (e.g. mesma massa). EPR consideram a situação na qual 2 observadores microscópicamente separados medem os momentos das partículas 1 e 2.

Por exemplo, se o observador de partícula 1 mede 5 momentos

$$+ \hbar k_1$$

então ele sabe (~~estatisticamente~~) que o estado da partícula 2 é

$$- \hbar k_1$$

os dois foram definidos.

Mas se em lugar de medir 5 momentos, o que é medido é a posição da partícula 1, x_1 ,

Agora sabemos que a partícula 2 está em $x_1 + \Delta x$
bem definida.

Agora nós sabemos que todo que

$$[x_1, t_1 k_1] \neq 0$$

as medições da posição e do momento da partícula 1 interferem entre elas (e.g. se medimos o momento primeiro, a medida de posição deixa o momento indeterminado e viceversa). MAS ao mesmo tempo que a ordem das medições das propriedades da partícula 1 afetam as propriedades da partícula 2! Como isso pode ser, todo que os dois estão muito longe uma da outra? Se assumimos que em não é o caso (não existe ação a distância e entrelaçamento) então devemos concluir (EPR concluem) que a partícula 2 tem momento e posição bem definidas desde o começo! MAS isso é uma contradição com o fato de x_2 e t_2 não estarem em MQ.

O paradoxo de EPR implica (segundo EPR) que a MQ é incompleta, e que portanto deve existir uma formação determinista por trás dela. O ponto central que leva a EPR a essa conclusão é a imposição de localidade. Porém, como sabemos e vemos logo, a MQ é evidentemente NÃO LOCAL. Essa é a propriedade que permite entrelaçamento.

Formulações de Bohm Bohm considera o decoimento de um estado de momento angular total = 0 (E.g. uma partícula em repouso com spin = 0) em duas partículas de spin $1/2$. O estado das duas partículas é o seguinte de $S=0$:

$$|\Psi\rangle = \frac{1}{\sqrt{2}} \left\{ |+\downarrow\rangle - |-\downarrow\rangle \right\}$$

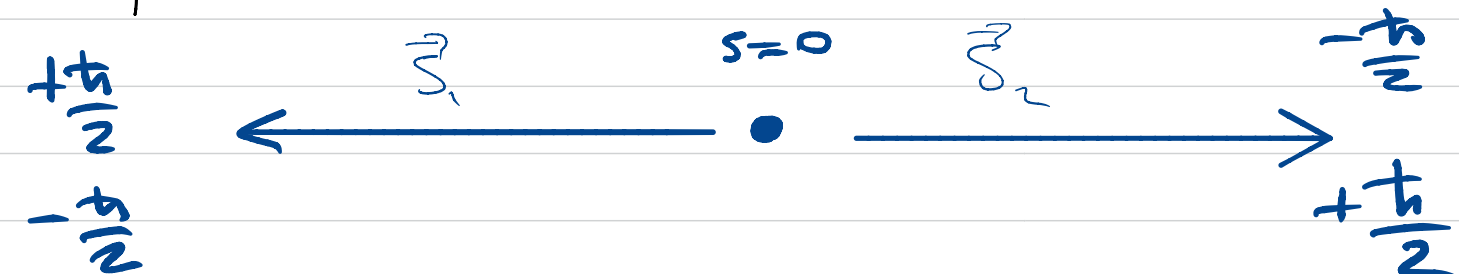
onde os fleches indicam as componentes dos spins \vec{s}_1 e \vec{s}_2 na direção \hat{z} . Se agora um observador mede a componente z do spin da partícula 1 ele pode obter

$$+\frac{\hbar}{2} \text{ ou } -\frac{\hbar}{2}$$

Isto quer dizer que se a componente z da partícula 2 é medida os resultados devem ser

$$-\frac{\hbar}{2} \text{ e } +\frac{\hbar}{2}$$

respectivamente, em cada caso.



Bohm argumenta que a medida da partícula 1 não pode influenciar os resultados da medida dos S_z da partícula 2 por elas estarem muito afastadas. Então ele conclui que os dois resultados Finsen os componentes de seus spins na direção é já determinados desde o começo. Até aqui não temos contradição com a MQ em si. Todo o que devemos fazer é ter uma interpretação realista dela: os partículas 1 e 2 têm valores de S_{1z} e S_{2z} definidos mesmo antes da medida. O problema aparece quando imaginamos que o observador mede agora a componente \hat{S}_z de S_1 , S_{1x} , também com resultados $+\frac{\hbar}{2}$ ou $-\frac{\hbar}{2}$, o que implica que uma medida de S_{2x} da partícula 2 deve resultar em $+\frac{\hbar}{2}$ e $-\frac{\hbar}{2}$ respectivamente. O mesmo pode ser dito se agora se medem S_{1y} e S_{2y} . Bohm conclui então que os 3 componentes de \hat{S}_2 , S_{2x} , S_{2y} e S_{2z} devem estar bem definidos desde o começo se queremos barrar essa a distâncias (barrar em maranhamento). Mas a MQ proíbe isso desde que

$$[S_{zi}, S_{zj}] = i\hbar \delta_{ij} S_{zk}$$

o mesmo para \hat{S}_1 . Bohm então conclui que a MQ precisa ser modificada. Como vemos ele (entre outros) propõe a existência de variáveis determinísticas "ocultas" de forma ta

explícitos os resultados da MQ consistentes com variáveis determinísticas LOCAIS, i.e.
Será preciso de acertar que a teoria fundamental é NÃO-local.

Enraizamento e Comunicação Instantânea

A presença de enraizamento em MQ sempre resulta na pergunta de se ele permite comunicação instantânea. A resposta é NÃO.

Por exemplo, nos casos vistos acima, se o observador da partícula 2 obtiver algum resultado dado, ele não tem como saber se esse valor é resultado de uma medição da partícula 1, ou se a partícula 1 tinha uma distribuição de momentos e, apesar de ter feito várias medições os resultados são reflexo dessa distribuição o de medições.

O ponto central é que o enraizamento afeta o estado $|4_2\rangle$ de forma instantânea, mas os resultados das medições, NÃO podem ser transmitidos instantaneamente entre os observadores.

A forma mais clara de demonstrar isto em MQ é usando o formalismo da matriz densidade e sua entidade unitária. Vamos a introduzir esse formalismo nas próximas aulas.

Teorema de Bell

Vamos considerar 2 possibilidades que, para entrar os consequências do enraizamento, existam certas variáveis ocultas locais. No caso descrito por Bohm, em lugar de descobrir o estado dos 2 partículas pelo estado $| \uparrow\downarrow \rangle$ surge o

$$|\Psi\rangle = \frac{1}{\sqrt{2}} \{ | \uparrow\downarrow \rangle - | \downarrow\uparrow \rangle \}$$

assumimos que o estado de duas partículas é descrito por um conjunto de possíveis estados caracterizado por um parâmetro e conjunto de parâmetros que chamaremos coletivamente de λ . Desta forma o valor da componente do spin da partícula 1 numa direção \hat{a} é uma função bem definida dada por

$$\left\{ \frac{\hbar}{2} S(\hat{a}, \lambda) \right\}$$

Onde $S(\hat{a}, \lambda)$ só pode tomar os valores ± 1 . Se o spin da partícula 2 é medido, também na direção \hat{a} , conservação do momento angular garante que o resultado será

$$-\frac{\hbar}{2} S(\hat{a}, \lambda)$$

O parâmetro λ é fixado antes das partículas se separarem, portanto não haverá problemas

de não-localidade. Dado que queremos que o resultado tenha os características probabilísticas da MQ, consideramos que os valores de λ são randomicamente distribuídos, com uma densidade de probabilidade $P(\lambda)$ que satisfaz

$$\int P(\lambda) d\lambda = 1$$

$$\text{e } P(\lambda) \geq 0.$$

O observável de interesse é a correlação entre os spins dos dois partículas, projetados nas direções \hat{a} e \hat{b} em zenos diferentes. Ela pode ser expressa como a média do produto dos projetados nas direções \hat{a} e \hat{b} :

$$\langle (\vec{\sigma}_1 \cdot \hat{a}) (\vec{\sigma}_2 \cdot \hat{b}) \rangle$$

Lembmando que $\vec{\sigma}_1 = \frac{\hbar}{2} \vec{\sigma}_1$; $\vec{\sigma}_2 = \frac{\hbar}{2} \vec{\sigma}_2$, onde $\vec{\sigma}_1$ e $\vec{\sigma}_2$ são as matrizes de Pauli $\frac{1}{2}$ que contêm a informação dos spins, podemos lembrar que as matrizes de Pauli satisfazem

$$\delta_i \delta_j = \delta_{ij} \mathbb{1} + i \sum_k \epsilon_{ijk} \sigma_k$$

$$\Rightarrow \langle (\vec{\sigma}_1 \cdot \hat{a}) (\vec{\sigma}_1 \cdot \hat{b}) \rangle = \frac{\hbar^2}{4} \hat{a} \cdot \hat{b} + i \frac{\hbar}{2} (\hat{a} \times \hat{b}) \cdot \vec{\sigma}_1$$

Válida em MQ.

Mas na situação de interesse temos

$$\vec{s}_1 = -\vec{s}_2$$

E portanto a previsão na MQ para a correlação dos Spins é

$$\langle (\vec{s}_1 \cdot \hat{a})(\vec{s}_2 \cdot \hat{b}) \rangle_{MQ} = -\frac{\hbar^2}{4} \hat{a} \cdot \hat{b}$$

onde usamos que $\langle \vec{s}_1 \rangle = 0$ nesse estado.

Mas, se agora calcularmos a correlação dos Spins usando uma teoria com variáveis ocultas locais com distribuição de probabilidade $P(\lambda)$, obtemos que

$$\langle (\vec{s}_1 \cdot \hat{a})(\vec{s}_2 \cdot \hat{b}) \rangle = -\frac{\hbar^2}{4} \int d\lambda P(\lambda) S(\hat{a}, \lambda) S(\hat{b}, \lambda)$$

↳ Previsão na teoria com variáveis ocultas locais

Não é nenhum problema achar funções S e densidades de probabilidade $P(\lambda)$ para as quais os dois previsões São iguais para qualquer escolha de 2 direções \hat{a} e \hat{b} . Por exemplo, se $\hat{a} = \hat{b}$ as duas expressões São idênticas trivialmente

$$\langle (\vec{s}_1 \cdot \hat{a})(\vec{s}_2 \cdot \hat{a}) \rangle = -\frac{\hbar^2}{4} \int P(\lambda) d\lambda S(\hat{a}, \lambda) = -\frac{\hbar^2}{4}$$

Então, aparentemente, não existe forma de distinguir experimentalmente entre teorias com variáveis ocultas e a mecânica quântica. MAS é John Bell mostrou (1964) que de fato existe um conflito quando se consideram 3 direções diferentes, \hat{a}, \hat{b} e \hat{c} . Vamos ver que neste caso os funções de correlação satisfazem desigualdades que em geral NÃO SÃO Satisfitas pelas premissas da MQ.

Desigualdades de Bell

De acordo com as propriedades das teorias de variáveis ocultas locais que vimos acima podemos escrever

$$\langle (\vec{s}_1 \cdot \hat{a})(\vec{s}_2 \cdot \hat{b}) \rangle - \langle (\vec{s}_1 \cdot \hat{a})(\vec{s}_2 \cdot \hat{c}) \rangle$$

$$= -\frac{\hbar^2}{4} \int p(\alpha) d\alpha \left[S(\hat{a}, \alpha) S(\hat{b}, \alpha) - S(\hat{a}, \alpha) S(\hat{c}, \alpha) \right]$$

MAS usando que $S^2(\hat{b}, \alpha) = 1$ e inserindo ele no segundo termo do lado direito, obtemos

$$\langle (\vec{s}_1 \cdot \hat{a})(\vec{s}_2 \cdot \hat{b}) \rangle - \langle (\vec{s}_1 \cdot \hat{a})(\vec{s}_2 \cdot \hat{c}) \rangle$$

$$= -\frac{\hbar^2}{4} \int p(\alpha) d\alpha S(\hat{a}, \alpha) S(\hat{b}, \alpha) \left\{ 1 - S(\hat{b}, \alpha) S(\hat{c}, \alpha) \right\}$$

Se agora tomarmos o valor absoluto nos dois lados, do lado direito temos que o valor absoluto da integral é, no máximo, a integral do valor absoluto:

$$\frac{\hbar^2}{4} \left| \int p(\alpha) d\alpha S(\hat{a}, \alpha) S(\hat{b}, \alpha) \left\{ 1 - S(\hat{b}, \alpha) S(\hat{c}, \alpha) \right\} \right| \\ \leq \frac{\hbar^2}{4} \int p(\alpha) d\alpha \left\{ 1 - S(\hat{b}, \alpha) S(\hat{c}, \alpha) \right\}$$

onde assumos que

- $p(\alpha) \geq 0$
- $|S(\hat{a}, \alpha) S(\hat{b}, \alpha)| = 1$
- $S(\hat{b}, \alpha) S(\hat{c}, \alpha) \leq 1$ de forma

que $\left| \left\{ \right\} \right| = \left\{ \right\}$ na integral

Finalmente chejamos a desigualdade de Bell:

$$\left| \langle (\vec{s}_1 \cdot \hat{a}) (\vec{s}_2 \cdot \hat{b}) \rangle - \langle (\vec{s}_1 \cdot \hat{a}) (\vec{s}_2 \cdot \hat{c}) \rangle \right|$$

$$\leq \frac{\hbar^2}{4} \int p(\alpha) d\alpha \left\{ 1 - S(\hat{b}, \alpha) S(\hat{c}, \alpha) \right\}$$

Mas vimos $\int p(\alpha) d\alpha = 1$, e a definição
da correlação de spins na teoria com variáveis ocultas
livres

$$\langle (\vec{s}_1 \cdot \hat{b}) (\vec{s}_2 \cdot \hat{c}) \rangle = - \frac{\hbar^2}{4} \int p(\alpha) d\alpha S(\hat{b}, \alpha) S(\hat{c}, \alpha)$$

finalmente obtemos

$$\left| \langle (\vec{s}_1 \cdot \hat{a})(\vec{s}_2 \cdot \hat{b}) \rangle - \langle (\vec{s}_1 \cdot \hat{a})(\vec{s}_2 \cdot \hat{c}) \rangle \right|$$

$$\leq \frac{\hbar^2}{4} + \langle (\vec{s}_1 \cdot \hat{b})(\vec{s}_2 \cdot \hat{c}) \rangle$$

ESSA é a desigualdade de Bell original.

O ponto crucial é que para certas escolhas dos eixos \hat{a}, \hat{b} e \hat{c} , essa desigualdade NÃO É Satisfazida pela função de correlação da MQ

$$\langle (\vec{s}_1 \cdot \hat{a})(\vec{s}_2 \cdot \hat{b}) \rangle_{MQ} = -\frac{\hbar^2}{4} \hat{a} \cdot \hat{b}$$

Por exemplo, se escolhermos

$$\hat{a} \cdot \hat{b} = 0 \quad \text{e} \quad \hat{c} = \frac{\hat{a} + \hat{b}}{\sqrt{2}}$$

Se usarmos a função de correlação da MQ, o resultado é que a desigualdade é

$$\left| 0 + \frac{\hbar^2}{4} \hat{a} \cdot \frac{(\hat{a} + \hat{b})}{\sqrt{2}} \right| = \frac{\hbar^3}{4\sqrt{2}}$$

Por outro lado direito é

$$\frac{\hbar^3}{4} - \frac{\hbar^3}{4} \hat{b} \cdot \frac{(\hat{a} + \hat{b})}{\sqrt{2}} = \frac{\hbar^3}{4} - \frac{\hbar^3}{4\sqrt{2}}$$

MAS claramente o lado esquerdo é MAIOR que o direito, NÃO é menor. Portanto o resultado de correlação de Spins na MQ viola a desigualdade de Bell.

Concluímos que se determinarmos experimentalmente as funções de correlação $\langle(\vec{s}_1, \hat{a})(\vec{s}_2, \hat{b})\rangle$, $\langle(\vec{s}_1, \hat{a})(\vec{s}_2, \hat{c})\rangle$ e $\langle(\vec{s}_1, \hat{b})(\vec{s}_2, \hat{c})\rangle$ podemos decidir entre os pressupostos da mecânica quântica e os de qualquer teoria de variáveis ocultas locais. De fato, conseguido em 1981, esses experimentos têm sido feitos. Vamos ver. Depois que, todos que foram feitos com fótons em lugar de com partículas de Spins $1/2$, vamos precisar reformular a desigualdade de Bell. MAS o fato é que as medições das funções de correlação violam a desigualdade de Bell, do jeito que só os pressupostos da MQ podem fazer-lo. Portanto esses experimentos confirmam a MQ e descartam a possibilidade da existência de variáveis ocultas locais.

Generalizações da Desigualdade de Bell

Os testes experimentais da desigualdade de Bell, feitos com fótons a partir dos anos 1980, de fato obtêm uma generalização da versão originalmente obtida por Bell para partículas de spin $\frac{1}{2}$.

Para generalizar a desigualdade obtida acima, vamos considerar que para a partícula m existe uma grandeza $S_m(\hat{a})$ associada a uma observação espacial \hat{a} e que só pode tomar valores ± 1 . Por exemplo, um desses partículas tem a projeção do spin da partícula m , $S_m \cdot \hat{a}$ (em unidade de $\hbar/2$) no caso de partículas de spin $\frac{1}{2}$ que foi discutido anteriormente). Se agora considerarmos uma teoria de variáveis ocultas locais (VOL) os valores medidos de $S_m(\hat{a})$ devem ser dados por uma função bien definida $S_m(\hat{a}, \lambda)$ de um parâmetro ou conjunto de parâmetros λ , os quais tem valores fixos para essas partículas se separam (as variáveis λ são locais). Os valores λ tem associação a eles uma densidade de probabilidade de $P(\lambda)$, tal que $P(\lambda)d\lambda$ é a probabilidade deles ter valores entre λ e $\lambda + d\lambda$.

Se agora considerarmos 2 partículas com valores das grandes $S_1(\hat{a})$ e $S_2(\hat{b})$, a função de correlação entre elas na teoria VOL é a média do produto:

$$\langle S_1(\hat{a}) S_2(\hat{b}) \rangle = \int d\lambda P(\lambda) S_1(\hat{a}, \lambda) S_2(\hat{b}, \lambda)$$

Vamos considerar 4 possíveis direções: $\hat{a}, \hat{b}, \hat{a}'$ e \hat{b}' . Com elas vamos construir as grandezas

$$\begin{aligned} & \langle S_1(\hat{a}) S_2(\hat{b}) \rangle - \langle S_1(\hat{a}) S_2(\hat{b}') \rangle + \langle S_1(\hat{a}') S_2(\hat{b}) \rangle + \langle S_1(\hat{a}') S_2(\hat{b}') \rangle \\ &= \int d\lambda P(\lambda) \left\{ S_1(\hat{a}, \lambda) S_2(\hat{b}, \lambda) - S_1(\hat{a}, \lambda) S_2(\hat{b}', \lambda) \right. \\ & \quad \left. + S_1(\hat{a}', \lambda) S_2(\hat{b}, \lambda) + S_1(\hat{a}', \lambda) S_2(\hat{b}', \lambda) \right\} \end{aligned}$$

Onde o lado direito é a soma na teoria VOL.
Queremos obter os possíveis valores da soma nos $\{ \}$ do lado direito. Para isso construimos a tabela com todos os $2^4 = 16$ possíveis combinações:

$S_1(\hat{a}, \lambda)$	+	+	+	+	+	+	+	...
$S_2(\hat{b}, \lambda)$	+	+	+	+	-	-	-	...
$S_1(\hat{a}', \lambda)$	+	+	-	-	+	+	-	...
$S_2(\hat{b}', \lambda)$	+	-	+	-	+	-	+	...
$\{ \}$	2	2	-2	2	-2	-2	-2	...

\Rightarrow os 5 únicos resultados para $\{ \}$ = $+2, -2, 0$

Portanto, se temos valor absoluto dos resultados da igualdade, e sabendo que

$$|\{3\}| \leq 2$$

obtemos

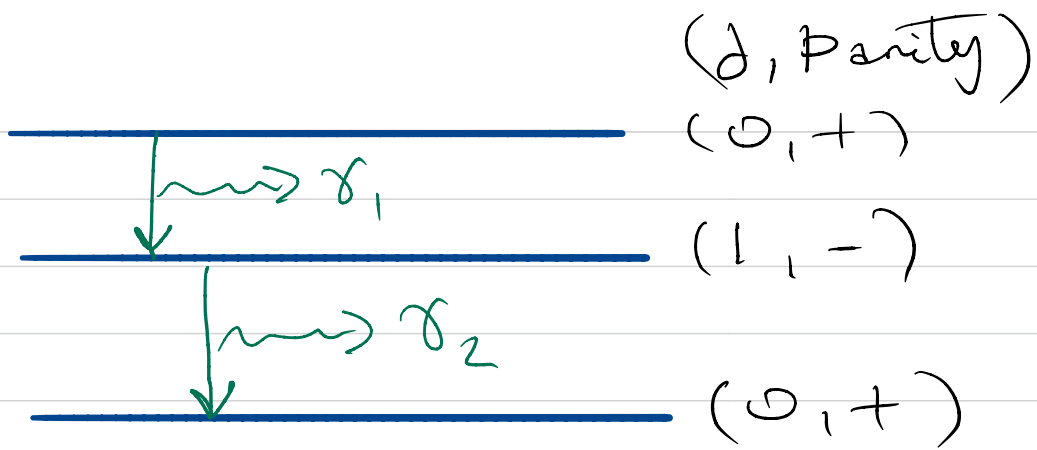
$$\left| \langle S_1(\hat{a}) S_2(\hat{b}) \rangle - \langle S_1(\hat{a}) S_2(\hat{b}') \rangle + \langle S_1(\hat{a}') S_2(\hat{b}) \rangle + \langle S_1(\hat{a}') S_2(\hat{b}') \rangle \right| \leq 2$$

Essa é a desigualdade de Bell generalizada. Ela é válida para um conjunto ainda mais amplo de + coisas VOL do que a desigualdade original dada que não precisava para a sua demonstração de assumir que

$$S_2(\hat{a}, \lambda) = -S_1(\hat{a}, \lambda) \quad \times$$

Teste Experimental

Alain Aspect et al. (1981, 1982)
Mediram correlações entre os polarizadores dos fôtons em transições em correta de los fôtons. O primeiro fôton, γ_1 , é emitido de um átomo de césio num estado $J=0$, para um estado de $J=1$, impor. Esse estado também decai no segundo fôton, γ_2 , de novo a um estado de $J=0$ e par. Dado que o estado inicial é $J=0$, conservação de momento implica \Rightarrow total correlação nas polarizações diagonais dos 2 fôtons. Dado que a probabilidade é de que γ_2 vai de par \rightarrow par \Rightarrow polarizações linear transversal.



Os fôtons γ_1 e γ_2 passam por polarizadores. Um polarizador deixa passar γ_1 , para ser detectado se ele estiver polarizado na direção \hat{a} (lembremos que \hat{a} é sempre transversal, \Rightarrow perpendicular à direção do momento \vec{k}). Nesse caso obtemos $S_1(\hat{a}) = +1$. Mas se γ_1 tem uma polarização linear perpendicular à \hat{a} , então temos $S_1(\hat{a}) = -1$. Da mesma forma o fôton γ_2 passa por outro polarizador com polarização linear \hat{b} a $-\hat{k}$. Se este \hat{b} à direção \hat{b} do polarizador $\Rightarrow S_2(\hat{b}) = +1$. Se este \hat{b} à direção \hat{b} do polarizador $\Rightarrow S_2(\hat{b}) = -1$.

A amplitude total da transição deve depender dos vetores de polarizações de γ_1 e γ_2 , \hat{e}_1 e \hat{e}_2 . Mas dado que a transição é de um estado inicial para 2 estados final também para, a forma da dessa dependência deve ser

$$\left\{ A(2) \propto \hat{e}_1 \cdot \hat{e}_2 \right\}$$

(e.g. $\hat{k} \cdot (\hat{e}_1 \times \hat{e}_2)$ está descartada por ser de paridade ímpar).

Desta forma, a probabilidade de \hat{a}_1 ter polarização \hat{a} e \hat{a}_2 ter polarização \hat{b} é

$$\frac{(\hat{e}_1 \cdot \hat{e}_2)^2}{2}$$

Onde introduzimos o fator $\frac{1}{2}$, dado que se somarmos 2 direções perpendiculares $\hat{1}$ e $\hat{2}$, a soma deve ser 1:

$$\frac{(\hat{1} \cdot \hat{1})^2}{2} + \frac{(\hat{2} \cdot \hat{2})^2}{2} = 1 \quad \checkmark$$

Para calcular a média de $S_1(\hat{a})S_2(\hat{b})$ na Mecânica Quântica devemos juntar os 4 possibilidades vindas de $S_1(\hat{a}) = \pm 1$ e $S_2(\hat{b}) = \pm 1$, cada uma delas com o peso da probabilidade $(\hat{e}_1 \cdot \hat{e}_2)^2 / 2$. Por exemplo, o termo

$$S_1(\hat{a}) = +1, S_2(\hat{b}) = +1$$

corresponde à situação $\vec{e}_1 \parallel \hat{a}$ e $\vec{e}_2 \parallel \hat{b}$. Neste caso temos que o peso é

$$\left[\frac{(\hat{a} \cdot \hat{b})^2}{2} = \frac{1}{2} \cos^2 \theta_{ab} \right]$$

onde θ_{ab} é o ângulo entre as direções das polarizações.

Similarmente, se $\cos S_1(\hat{a}) = -1$, $S_2(\hat{b}) = 1$
temos que

$$\hat{e}_1 \perp \hat{a}, \hat{e}_2 \perp \hat{b}$$

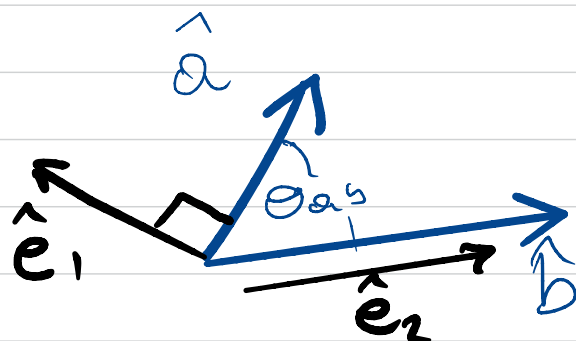
e, portanto

$$\left\{ (\hat{e}_1 \cdot \hat{e}_2)^2 = (\hat{a} \cdot \hat{b})^2 = \cos^2 \theta_{ab} \right\}$$

Portanto, para o caso $S_1(\hat{a}) = -1$, $S_2(\hat{b}) = +1$
temos

$$\hat{e}_1 \perp \hat{a}, \hat{e}_2 \parallel b$$

$$\Rightarrow \hat{e}_1 \cdot \hat{e}_2 = \cos(\theta_{ab} \pm \frac{\pi}{2}) = \mp \sin \theta_{ab}$$



$$\Rightarrow \left\{ \frac{(\hat{e}_1 \cdot \hat{e}_2)^2}{2} = \frac{1}{2} \sin^2 \theta_{ab} \right\}$$

O mesmo ocorre para $S_1(\hat{a}) = +1$, $S_2(\hat{b}) = -1$.
Somando os 4 possibilidades, obtemos

$$\langle S_1(\hat{a}) S_2(\hat{b}) \rangle_{MQ} = \frac{1}{2} \left[\cos^2 \theta_{ab} - \sin^2 \theta_{ab} - \sin^2 \theta_{ab} + \cos^2 \theta_{ab} \right]$$

$$\boxed{\langle S_1(\hat{a}) S_2(\hat{b}) \rangle_{MQ} = \cos 2 \theta_{ab}}$$

Parecido
de MQ

Então, podemos construir o lado esquerdo da desigualdade de Bell generalizada:

$$\begin{aligned} & \langle S_1(\hat{a}) S_2(b) \rangle_{MQ} - \langle S_1(\hat{a}) S_2(\hat{b}') \rangle_{MQ} + \langle S_1(\hat{a}') S_2(\hat{b}) \rangle_{MQ} \\ & + \langle S_1(\hat{a}') S_2(\hat{b}') \rangle_{MQ} \\ & = \cos 2\Theta_{ab} - \cos 2\Theta_{ab'} + \cos 2\Theta_{a'b} + \cos 2\Theta_{a'b'} \end{aligned}$$

Para obter uma distribuição experimental que viole a desigualdade de Bell quando a previsão da MQ ocima é usada do lado esquerdo, o mais direto é obter os ângulos que maximizam essa expressão. Por exemplo, podemos fixar

$$\Theta_{ab'} = \Theta_{ab} + \Theta_{a'b} + \Theta_{a'b'}$$

Substituindo acima e derivando relações entre os 3 ângulos e igualar a zero, obtemos

$$\Theta_{ab} = \Theta_{a'b'} = \Theta_{a'b} = 22.5^\circ \quad \boxed{}$$

$$\text{e } \Theta_{ab'} = 67.5^\circ \quad \boxed{}$$

Substituindo, obtemos que usando a MQ nessa configuração o lado esquerdo é

$$\boxed{2\sqrt{2} > 2 \Rightarrow \text{Viola a desigualdade}}$$

De fato, no experimento os folhagens-sóis não eram perfeitos, mas o resultado experimental foi

$$2.70 \pm 0.5 > 2$$

O que está de acordo com a MQ e em clara contradição com a desigualdade que deve ser respeitada por todos os teórios com variáveis reais locais.